

ТЕРМОУПРУГОЕ СОСТОЯНИЕ ИЗ ЖАРОПРОЧНОГО СПЛАВА АНВ-300 ПРИ НАЛИЧИИ ТОЧЕЧНОЙ ТЕМПЕРАТУРЫ И ГЛОБАЛЬНОГО ТЕПЛООБМЕНА

КУДАЙКУЛОВ А.К., КЕНЖЕГУЛОВ Б.З., УТЕБАЕВ У.Б., МЫРЗАШЕВА А.

Международный казахско-турецкий университет им. А.Яссави, г. Туркестан

izvestiya@ktu.aknet.kg

Рассматривается стержень ограниченной длины из жаропрочного сплава АНВ-300 при наличии точечной температуры в левой конце. При этом через площади боковой поверхности по всей длине и площади поперечного сечения правого конца происходит теплообмен с окружающей этих площадей среды. Рассматривается два вида заземления. В первом случае левый конец стержня жестко заземлен, а на правом конце приложена осевая растягивающая сила. В этом случае определяется удлинение стержня. Во втором случае обе концы стержня жестко-заземлены. В этом случае определяется величина сжимающей силы и термо-упругого напряжения в зависимости от величины заданной точечной температуры. В обоих случаях учитывается зависимость между коэффициентом теплового расширения и поле температуры по длине стержня.

Рассмотрим горизонтальный стержень ограниченной длины L [см]. Площадь поперечного сечения F [см²] постоянна по ее длине. Коэффициент теплопроводности материала стержня K_{xx} [Вт/(см·°C)]. Коэффициент теплового расширения материала стержня $\alpha(T(x))$ [1/°C]. Модуль упругости E [кГ/см²].

Стержень изготовлена из жаропрочного материала АНВ-300 [1]. Элементы конструкции из этого материала в основном используются в газотурбинных двигателях, рабочий температура которых достигается 900 °C. В работе [1] приводится в графическом виде результаты натурного эксперимента по установлению зависимости между α и T результаты этих натуральных экспериментов можно переписать в следующей табличной форме (таблица-1).

Таблица 1

T [°C]	20	100	200	300	400	500	600	700	800
$\alpha \times 10^{-6}$ [1/°C]	10,1	11,9	13,2	14,7	17	18,3	20,3	22	23,2

После соответствующей мат обработки эту зависимость можно привести к следующей табличной форме (таблица-2).

Таблица 2

№	Интервал температуры	Зависимость $\alpha(T)$
1.	$20 \leq T \leq 100$ [°C]	$\alpha = 0,0225 \cdot 10^{-6} \cdot T + 9,65 \cdot 10^{-6}$ [1/°C]
2.	$100 \leq T \leq 200$ [°C]	$\alpha = 0,013 \cdot 10^{-6} \cdot T + 10,6 \cdot 10^{-6}$ [1/°C]
3.	$200 \leq T \leq 300$ [°C]	$\alpha = 0,015 \cdot 10^{-6} \cdot T + 10,2 \cdot 10^{-6}$ [1/°C]
4.	$300 \leq T \leq 400$ [°C]	$\alpha = 0,023 \cdot 10^{-6} \cdot T + 7,8 \cdot 10^{-6}$ [1/°C]
5.	$400 \leq T \leq 500$ [°C]	$\alpha = 0,013 \cdot 10^{-6} \cdot T + 11,8 \cdot 10^{-6}$ [1/°C]
6.	$500 \leq T \leq 600$ [°C]	$\alpha = 0,02 \cdot 10^{-6} \cdot T + 8,3 \cdot 10^{-6}$ [1/°C]
7.	$600 \leq T \leq 700$ [°C]	$\alpha = 0,017 \cdot 10^{-6} \cdot T + 10,1 \cdot 10^{-6}$ [1/°C]
8.	$700 \leq T \leq 800$ [°C]	$\alpha = 0,012 \cdot 10^{-6} \cdot T + 13,6 \cdot 10^{-6}$ [1/°C]

На левом конце стержня задано температура $T(x=0) = T_s$ [°C]. По площади боковой поверхности и поперечного сечения правого конца происходит теплообмен с окружающей среды. При этом коэффициент теплообмена h [Вт/(см²·°C)], а температура окружающей среды T_{oc} [°C]. Рассматривается два вида граничных условия.

1) Левый конец стержня жестко-заземлен, а на правом конце приложена осевая растягивающая сила P [кГ] (Рис.-1, а). В этом случае при разных значениях T_s определяется:

- распределение температуры $T = T(x)$ по длине стержня; удлинение стержня как от теплового расширения так и от осевой растягивающей силы;
- 2) Оба конца стержня жестко-закреплены (Рис.-1 б). В этом случае определяется величина сжимающей силы R [кГ] и термоупругого напряжения σ [кГ/см²] при разных значениях

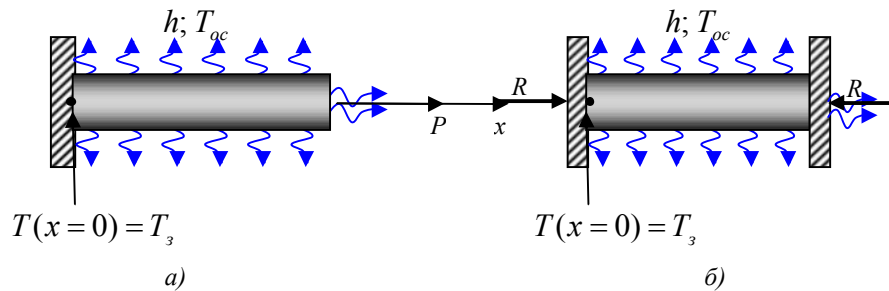


Рис.-1. Расчетные схемы рассматриваемых задач

Для решения обе задачи необходимо определить поле распределения температуры по длине стержня с учетом наличия точечной температуры и глобального теплообмена. Из вариационного исчисления известно, что поле распределения температуры $T = T(x)$ которая является решением уравнения теплопроводности и удовлетворяющая существующих граничных условий дает минимум функционалу которая характеризует полную тепловую энергию [2, 3].

$$I = \int_V \frac{K_{xx}}{2} \left(\frac{\partial T}{\partial x} \right)^2 dV + \int_{S_{\text{бп}}} \frac{h}{2} (T(x) - T_{oc})^2 dS + \int_{S_{\text{пс}}} \frac{h}{2} (T(x) - T_{oc})^2 dS \quad (1)$$

где V - объем стержня; $S_{\text{бп}}$ - площадь боковой поверхности стержня; $S_{\text{пс}}$ - площадь поперечного сечения правого конца ($x=L$) стержня.

Так как рассматриваемый температурный процесс является установившимся, то поле распределения температуры $T = T(x)$ по длине стержня будет гладкой кривой, т.е. она не имеет осциллирующий характер. Тогда, если дискретизировать рассматриваемый стержень n - элементами одинаковой длины, то длина каждого элемента будет $\ell = \frac{L}{n}$ [см]. В пределах длины дискретного элемента поле распределения температуры можно аппроксимировать кривой второго порядка $T(x) = ax^2 + bx + c$. Учитывая, что $T_i = T(x=0)$; $T_j = T\left(x = \frac{\ell}{2}\right)$; $T_k = T(x = \ell)$; имеем

$$T(x) = \varphi_i(x) \cdot T_i + \varphi_j(x) \cdot T_j + \varphi_k(x) \cdot T_k \quad (2)$$

где

$$\varphi_i(x) = \frac{\ell^2 - 3\ell x + 2x^2}{\ell^2}; \quad \varphi_j(x) = \frac{4\ell x - 4x^2}{\ell^2}; \quad \varphi_k(x) = \frac{2x^2 - \ell x}{\ell^2}; \quad (3)$$

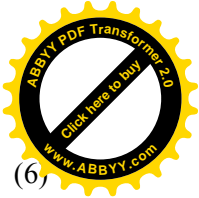
Тогда записав функционал I_i для каждого дискретного элемента и суммировав их по всем покрывающим рассматриваемый стержень дискретным элементам имеем, что $I = \sum_{i=1}^n I_i$

(4)

Здесь следует отметить, что число узлов будет равно $ЧУЗ=2n+1$. Далее минимизировав I по узловым значениям температуры получим разрешающую систему линейных алгебраических уравнений относительно узловых значений температуры.

$$\frac{\partial I}{\partial T_i} = 0 \quad [i = 2 \div (2n + 1)] \quad (5)$$

Здесь учтено, что $T_1 = T(x=0) = T_3$ - уже заранее задано. Решая систему (5) определяются T_i , а по (2) закон распределения температуры в любом дискретном элементе стержня. После этого пользуясь таблицами-1,2 определяются узловые значения температур. Аналогично (2) поле распределения значения коэффициента теплового расширения в пределах одного дискретного элемента примем



$$\alpha(x) = \varphi_i(x) \cdot \alpha_i + \varphi_j(x) \cdot \alpha_j + \varphi_k(x) \cdot \alpha_k \quad (0 \leq x \leq \ell) \quad (6)$$

Тогда удлинение каждого дискретного элемента засчет теплового распределения определяется следующим образом [4].

$$\Delta \ell_{T_i} = \int_0^{\ell} \alpha(x) \cdot T(x) dx \quad (7)$$

Тогда общее удлинение стержня от поле распределения температур будет

$$\Delta \ell_T = \sum_{i=1}^n \Delta \ell_{T_i} \quad (8)$$

Для 1)-ой случай. Удлинение стержня от осевой растягивающей силы P определяется в соответствии закона Гука [4].

$$\Delta \ell_P = \frac{PL}{EF} \quad (9)$$

Когда обе концы зацемено, величина сжимающегося усилия R определяется как решения соответствующей статически неопределимой задачи

$$R = \frac{EF \cdot \Delta \ell_T}{L} \quad (10)$$

Тогда величина термоупругого напряжения σ определяется в соответствии законом Гука

$$[4]. \quad \sigma = \frac{R}{F} = \frac{E \Delta \ell_T}{L} \quad (11)$$

Для проведения вычислительных экспериментов за исходных данных примем следующее: $T_1 = T(x=0) = T_3 = [400^\circ C \div 800^\circ C]$; $K_{xx} = 72 [Bm / (cm \cdot ^\circ C)]$; $h = 10 [Bm / (cm^2 \cdot ^\circ C)]$; $T_{oc} = 40 [^\circ C]$;

$$r = 1 [cm]; F = \pi r^2 [cm^2]; L = 15 [cm]; n = 150 \text{ шт.}; \ell = \frac{L}{n} = 0,1 [cm]; P = 1000 [кГ];$$

$$E = 2 \cdot 10^6 \left[\frac{кГ}{cm^2} \right].$$

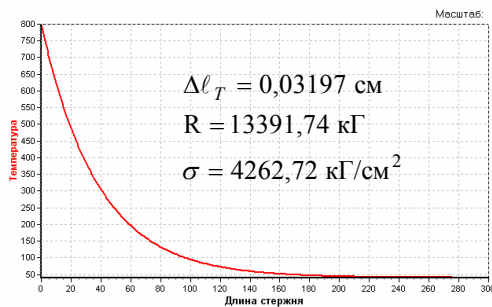
Поле распределение температуры по длине стержня при разных значения $T_1 = T(x=0) = T_3$ при на рис.-2. Там же приводится соответствующие значение $\Delta \ell_T$, R и σ . Так как $P = 1000 [кГ]$, то

для всех рассмотренных случаев $\Delta \ell_P = \frac{PL}{EF} = 0,002387 [cm]$. В рассмотренных вариантах

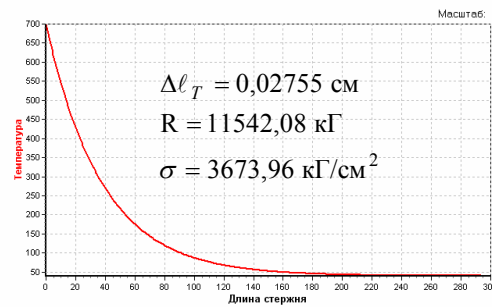
$\Delta \ell_T \gg \Delta \ell_P$. В этом случае $\sigma_x = \frac{P}{F} = \frac{1000}{3,14} = 318,47 \left[\frac{кГ}{cm^2} \right]$. Если взять $P = 3768 [кГ]$ которому

соответствует $\sigma_x = 1200 \left[\frac{кГ}{cm^2} \right]$, то $\Delta \ell_P = 0,009 [cm]$. Сравнивая полученные результаты

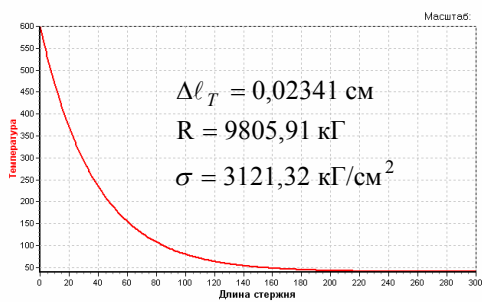
приходим к выводу что, полученные значение $\Delta \ell_T$ во всех вариантах будет $\Delta \ell_T > \Delta \ell_P$.



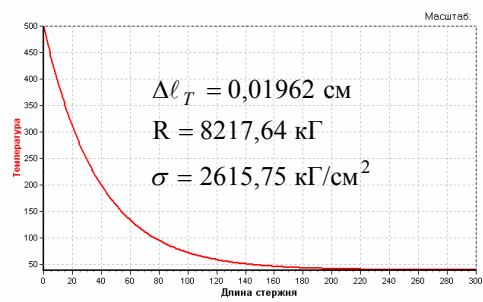
$T_3 = 800$



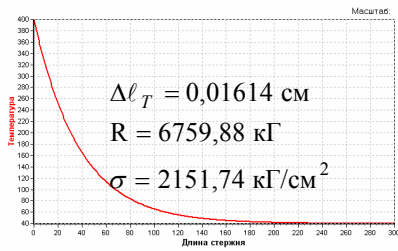
$T_3 = 700$



$$T_3 = 600$$



$$T_3 = 500$$



$$T_3 = 400$$

Рис.-2. Поле распределение температуры



Литература

1. Химуцин Ф.Ф. Жаропрочные стали и сплавы. 2-ое переработанное и дополненное издания. - М.: Металлургия, 1969.-749с.
2. Сегерлинд Л. Применение метода конечных элементов. - М.: Мир,1979-с.568.
3. Зенкевич О. Метод конечных элементов в технике. - М.: Мир,1975.-с.541.
4. Писаренко Г.С. и др., Сопротивление материалов, Киев: “Вища Школа”, 1973. 672с.

